

فعال سازی سطح منسوج توسط چاپ جوهر افشار برای ایجاد طرح رسانا از طریق لایه نشانی الکترولیس

وحید متغیری طلب ، فاطمه محترم ، مرجان عباسی و اکبر خداپرست حقی

گروه نساجی دانشکده فنی، دانشگاه گیلان

غلامرضا باقر سلیمانی

گروه برق دانشکده فنی، دانشگاه گیلان

(دریافت مقاله : ۹۱/۰۹/۱۹ - پذیرش مقاله : ۹۲/۰۳/۱۱)

چکیده

در سالهای اخیر پارچه های طرح دار هادی موضوع مورد علاقه بسیاری از محققین با تمرکز بر روی کاربردهای پژوهشی و الکترونیکی قابل پوشش بوده است. در این بین ، تکنولوژی چاپ جوهر افشار به عنوان یک روش با دقت بالا بواسطه کم بودن زمان فرایند، هزینه تلفات و همچنین توانایی فرق العاده در ساخت طرح های هادی انعطاف پذیر نسبت به روش های دیگر ترجیح داده می شود. در این تحقیق از پارچه پلی استر با هدف لایه نشانی فلز نیکل و بهینه سازی دما و اسیدیته فرایند الکترولیس استفاده شده است. فرایند دندانه زنی، فعال سازی و لایه نشانی الکترولیس می باشد. فرایند دندانه زنی شرایط لازم را برای مرحله فعال سازی از طریق چاپ جوهر افشار فراهم می کند که در مرحله نهایی لایه نشانی صورت می پذیرد. شکل گیری سطحی حفره دار بعد از فرایند دندانه زنی و همچنین تشکیل فاز پیوسته نانو ذرات ($100-200$ نانومتر) مشکل از کریستالهای فلزی دو یافته مهم از تصاویر میکروسکوپ الکترونی روبشی و نیروی اتمی است. اندازه گیری هدایت الکتریکی توسط دستگاه چهار پر برابر معرف هدایت الکتریکی حدود $S/cm = 2632 \pm 35$ میباشد. آماده سازی طرح های متنوع مارپیچی و پانل های تخت با کاربردهایی در آتن و حسگر نشانی از توانمندی تکنیک است. اندازه گیری ظرفیت خازنی مقادیری در حدود $20-10$ نانو فاراد را ثبت نموده است.

واژه های کلیدی: چاپ جوهر افشار، نانو ذرات فلزی، پارچه هادی، آتن، حسگر

Fabric surface activation using inkjet printing for developing conductive pattern through electroless plating

V. Mottaghitalab, F. Haghdoost, F. Mohtaram, M. Abassi, A.K.Haghi

Textile Engineering department, Faculty of Engineering, University of Guilan

G.R.Baghersalimi

Electrical Engineering department, Faculty of Engineering, University of Guilan

(Received 9 December 2012, accepted 1 June 2013)

Abstract

In recent years, the highly conductive patterned fabric has been field of interest for many researchers by focusing on medical and electrical application of flexible and wearable electronic devices. In the meantime, inkjet printing technology as a high precision technique has been extensively successful in flexible electronic device industry. Compared to other techniques, the ink jet printing is most preferred due to low process time, expenses, waste material and also its great capability for creation of flexible conductive pattern. In current study, the polyester fabric was employed for temperature and pH optimization in nickel electroless plating process. The fabrication process composed of three steps including the etching, activation and electroless plating. The etching process provides necessary condition for inkjet printing in activation step followed by electroless plating. The formation of a multi cavity structure on PET fabric after etching process and a continues metallic phase composed of nickel nano crystals(20-100nm) after plating process are two major finding from AFM, SEM and optical microscopic images. The four probe conductivity measurements showed a range of conductivity around 2632 ± 35 S/cm. Range of patterns including spiral or flat panels with applications in antenna and sensors show the technique perfection. The capacitance measurements also represent a range between 10-20 nF.

Key words: Inkjet printing, metallic nanoparticle, Conductive fabric, Antenna, Sensor

E-mail of corresponding author: motaghitalab@guilan.ac.ir

مقدمه

موارد دلیل مزیت این روش بر روش‌های پیشین می‌باشد [۱۲-۱۳]. امروزه تعداد پلیمرهایی که با موفقیت با استفاده از تکنیک چاپ جوهرافشان به کار می‌روند، رو به افزایش می‌باشد که از آن جمله می‌توان به چاپ پلی‌تیوفن [۱۴-۱۵] پلی آنیلین [۱۶]، پلی پیروول [۱۷ و ۹] و پلیمرهای حاوی فلزات [۱۸-۲۰] اشاره نمود.

در سالهای اخیر، تحقیقات بسیاری در زمینه چاپ جوهرافشان سوپرپلیسیون‌های نانوذرات آلی یا فلزی بر روی سطوح انعطاف پذیر صورت گرفته است [۲۱-۲۳]. کیم و همکاران [۲۴] موافق به چاپ خطوط هادی بر روی یک سطح انعطاف پذیر شدند. آنها با استفاده از نانوذرات نقره با محدوده قطری حدود ۲۰ نانو متر توانستند بطور مستقیم چاپ مدار فلزی را بر روی سطوح پلیمری نظیر پلی ایمید، پلی اتیلن نفتالات و پلی اتیلن تر فتالات برای کاربرد در قطعات الکترونیکی انعطاف پذیر انجام دهند. طرح حاصله با دقت مناسبی به طرحی بسیار ظریف و صاف هادی بر روی سطح پلیمر متوجه گردید. در تحقیق دیگری چاپ جوهر افشن برای ایجاد طرح هادی پلی اتیلن دی اکسی تیوفن - پلی استیرن سولفونات بر روی سطح منسوج پلی اتیلن تر فتالات استفاده شده است [۲۱]. مگداسی و همکارانش توانستند با استفاده از فن آوری جوهرافشان، نیترات نقره ای حل شده در محلولی از آب و دی متیل سولفوكسید را روی بستره از پلی آمید در دمای ۱۲۰ درجه سانتی گراد استحصلال دهند. بر این اساس، ردیف های چاپ شده از طریق جوهرافشان در مدت ۲۰ دقیقه و در دمای ۳۰۰ درجه سانتیگراد موجب ایجاد نانو ذرات نقره با مقاومت حدود 5×10^{11} اهم سانتیمتر گردید [۲۵] در تحقیق انجام شده توسط بیدکی و همکاران [۲۶-۲۷]، جهت دستیابی به مطلوب‌ترین استحصلال شیمیایی فلزات بر منسوجات، محلولهای مختلفی از نمک‌های مس و نقره با مواد احیا کننده متفاوت مورد آزمون قرار گرفتند. در مطالعه مذکور بهترین زوج مناسب از نمک فلزی و ماده احیا کننده برای استحصلال فلزات، وارد کارتريج چاپگر جوهرافشان شده و

با ظهور عصر الکترونیک و ساخت تجهیزات الکترونیکی متنوع، تحقیقات گسترده‌ای برای ساخت اجزاء الکترونیکی و مدارها بر روی سطوح انعطاف پذیر در جهت تحقق روایی ساخت تجهیزات الکترونیکی سبک و انعطاف پذیر در حال انجام است. بر این اساس مقالات علمی و فنی متعددی بر نقش فناوری چاپ در صنعت الکترونیک برای ساخت قطعات تاکید کرده‌اند. مدار الکترونیکی چاپ شده به عنوان وسایل الکترونیکی با بهره بالا به علت انعطاف پذیری بالا و بهای کم به مقوله ای منحصر بفرد تبدیل شده است. از جمله خصوصیات مهم چاپ مدار رسانا، دمای پایین فرایند چاپ بوده که با توجه به آن چاپ مدار با استفاده از زیرلايه هایی مانند پلاستیک، کاغذ و پارچه فراهم می‌گردد. استفاده از پارچه به عنوان زیر لایه برای ایجاد طرح رسانا بواسطه رشد روز افزون منسوجات الکترونیکی قابل پوشش و کاربردهای متنوع طرح‌های هادی جذابیت زیادی در بین محققین ایجاد نموده است [۱]. استفاده از منسوجات به دلیل خواص ذاتی و منحصر به فرد آنها و همچنین ظرفیت بالفعل آنها در تعامل فیزیکی و شیمیایی با مواد آلی و فلزی است. در سال‌های اخیر، فن آوری چاپ جوهر افشن به دلیل سرعت بالا، انعطاف پذیری و توزیع دقیق، جهت تولید فیلم‌های جامد کم ضخامت به عنوان یک روش منحصر بفرد به کار برده می‌شود. این فن آوری دارای محدوده‌ی وسیعی از کاربردها نظیر اتصالات نوری و الکترونیکی [۲-۳]، ترانزیستورهای آلی [۴]، دیود‌های نوری [۵]، حسگرهای زیستی [۶]، استحصلال مواد با ساختار نانو [۷-۹] و داریستهای رشد سلول [۱۰-۱۱] می‌باشد. روش جوهرافشان روشی غیر تماسی بوده و قادر است استحصلالات دقیقی با سرعت بالا حتی بر روی سطوح ناهموار ایجاد نماید. در روش‌های غیر تماسی، سطح حسگر آسیب ندیده و عاملیت آن کاهش نمی‌یابد. این فن آوری قادر است حسگرهای زیستی با قابل انعطاف پذیری را تنها در یک مرحله چاپ نماید که تمامی این

الکترولیس امکان پوشش سطوح با هر شکلی وجود دارد، در این روش تمامی خلل و فرج بستر به صورت یکنواخت با فلز پوشش داده می‌شود به طوریکه ضخامت لایه فلز در تمامی سطح پوشش داده شده اعم از برآمدگی‌ها و فرورفتگی‌ها تقریباً یکسان است. تراکم فلز پوشانده شده در روش لایه‌نشانی احیایی از دیگر روش‌ها بیشتر است. همچنین در لایه‌نشانی به روش الکترولیس امکان پوشش بخشی از سطح به صورت انتخابی وجود دارد. زیرا فلز تنها در مواضعی از سطح که از نظر شیمیایی فعال شده‌اند، نشانه می‌شود. در روش لایه‌نشانی الکترولیس می‌توان تمامی فلزات را لایه‌نشانی نمود ولی به دلیل اکسیداسیون سریع ماده احیاء‌کننده و در نتیجه پایین بودن مدت زمان پایداری حمام لایه‌نشانی از فلزاتی برای لایه‌نشانی استفاده می‌گردد که از سرعت احیاء بالایی برخوردار باشند.

در لایه‌نشانی بدون استفاده از جریان الکتریکی از مواد احیاء‌کننده به منظور احیاء شیمیایی یون فلزی استفاده می‌گردد. از مواد احیاء‌کننده متداول مورد استفاده در لایه‌نشانی احیایی می‌توان به سدیم هیپوفسفیت، هیدرازین، سدیم بوروهیدرید، فرمالدھید، سدیم پتابسیم تارتارات و گلوکز نوع آلفا اشاره نمود. انتخاب عامل احیاء‌کننده به نوع فلز و یا آلیاژی که لایه‌نشانی می‌گردد بستگی دارد. همچنین شرایط لایه‌نشانی و خواص فیزیکی - شیمیایی لایه، متأثر از نوع احیاء‌کننده، دما و اسیدیته محیط الکترولیس می‌باشد. عامل پایدارکننده ماده‌ی شیمیایی است که در لایه‌نشانی احیایی به منظور جلوگیری از تجزیه و تخریب محلول لایه‌نشانی به کار می‌رود. تخریب محلول لایه‌نشانی در اثر احیاء و رسوب ذرات فلز در محلول لایه‌نشانی اتفاق می‌افتد. ذرات فلزی رسوب کرده دارای نسبت سطح به حجم بالایی هستند، به همین دلیل این ذرات مانند کاتالیزور عمل کرده و باعث احیاء یون‌های فلز در محلول لایه‌نشانی و در نهایت رسوب فلز در محلول می‌شوند. بنابراین حضور مواد پایدارکننده در محلول لایه‌نشانی امکان نگهداری و استفاده دراز مدت از

در فرآیند استحصال به کار گرفته شدن. چاپ جوهر افشان در مکانهای مشخص شده طرح می‌تواند باعث اختلاط آن دو بر سطح کالا شده و واکنش آنها منجر به تولید نانو ذرات فلزی بر کالا شود که از هدایت الکتریکی مناسب برخوردار می‌باشد.

چاپ جوهر افشان علیرغم تمام مزایای انجام شده در آماده سازی طرح‌های هادی بر روی سطوح انعطاف پذیر برای استحصال هم‌مان فلزات متنوع با مشکلات متعدد روبروست که در عمل کاربرد آنها را دچار محدودیتهای جدی می‌کند. آماده سازی سطوح با هدایت الکتریکی بالا نیازمند تکرار متعدد فرایند چاپ بر روی یک طرح بوده که عملاً با توجه مشکلات مربوط به حرکت بستر در هنگام چاپ نمی‌توان به طرحی یکنواخت در سطح و عمق امیدوار بود. این موضوع با تشکیل ترکهای موین در سطح در هنگام تاخورده‌گی بستر، بیشتر مشهود خواهد بود. این موضوع تا حدی با اهمیت است که عمدتاً استفاده از پریترهایی توصیه می‌شود که حرکت بستر به صورت افقی بدون هیچگونه تاخورده‌گی باشد که نسل پریترهای با حرکت افقی بستر منسوخ شده است و پشتیبانی تکنولوژیکی برای آن در حال حاضر وجود ندارد. معضل مهمتر انسداد متعدد نازلها در هنگام استحصال بوده که بواسطه احیا هم‌مان ذرات و تجمع آن در دهانه نازل است. براین اساس جدا نمودن فرایند احیا از فریند فعل سازی می‌تواند مضلات فوق را مرتفع کند. لایه نشانی الکترولیس راهی برای پوشش دهی طرحهای ظریف فعل شده بر روی بستر انعطاف پذیر خواهد بود.

لایه‌نشانی الکترولیس روش متداول شیمیایی برای پوشش سطوح با لایه‌ای از فلز با استفاده از محلول آبی فلز و بدون استفاده از منبع جریان الکتریکی خارجی می‌باشد. در این روش یون فلز در محلول آبی در حضور ماده‌ی احیاء کننده به صورت شیمیایی احیاء گردیده و فلز در مواضع فعل شده لایه‌نشانی می‌گردد. مهمترین مزیت روش لایه‌نشانی الکترولیس، امکان پوشش سطح مواد نارسانا با فلزات و یا آلیاژهای فلزی می‌باشد. در لایه‌نشانی

مواد شیمیایی بکار رفته شامل سود، کلرید قلع، اسید کلریدریک، کلرید پالادیم، سولفات نیکل، هیپوفسفیت سدیم، اسید بوریک، سیترات سدیم، کلرید آمونیوم و ۲-پروپانول همگی با درجه خلوص ۹۹٪ از شرکت سیگما آلدریچ تهیه گردید.

حساس سازی سطح پارچه
شکل ۱ بصورت شماتیک فاز اول مراحل آماده سازی پارچه طرحدار هادی را بصورت متوالی نشان می‌دهد تا بدین طریق درک مناسبی از چگونگی فرایند در ذهن خواننده ایجاد شود. فاز اول شامل مراحلی است که پارچه را برای چاپ عامل فعال کننده بر روی سطح پارچه آماده می‌کند. این مرحله شامل شستشوی اولیه، آبکشی، دندانه دار کردن با محلول سود، آبکشی مجدد، حساس سازی با کلرید قلع و آبکشی نهایی است.

برای آماده سازی سطح هیدروفوب پارچه پلی استر از محلول سود ۱۵ گرم بر لیتر در دمای ۷۰ درجه سانتی گراد به مدت ۵ دقیقه استفاده شد. سپس فرآیند حساس سازی توسط محلول ۱۰ گرم بر لیتر کلرید قلع و ۲۰ میلی لیتر اسید کلریدریک در دمای محیط به مدت ۵-۱۰ دقیقه انجام شد. پارچه در دمای ۷۰ درجه سانتی گراد برای انجام چاپ جوهر افشان خشک گردید.

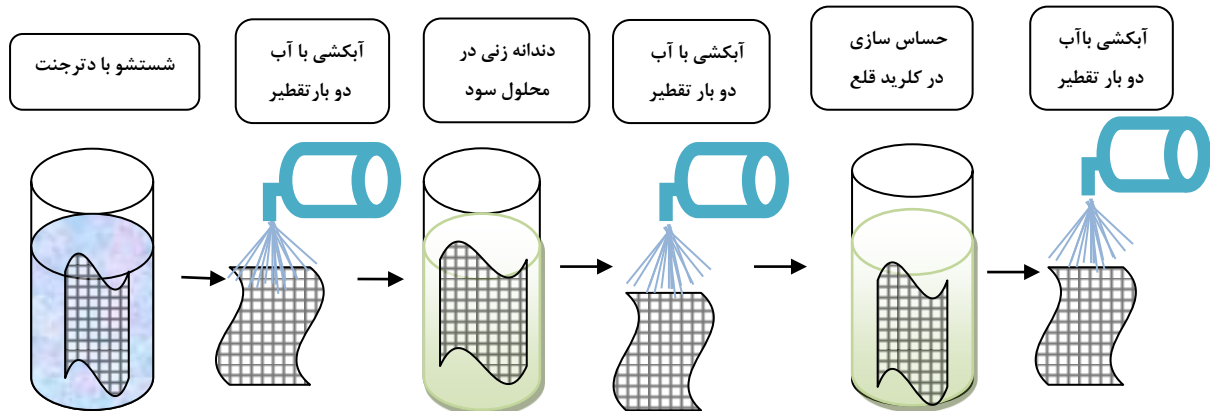
محلول را فراهم می‌کنند. نکته‌ی مهم در کاربرد مواد پایدارکننده میزان غلظت این مواد در محلول لایه‌نشانی می‌باشد، زیرا غلظت ماده‌ی پایدارکننده، تعیین کننده‌ی سرعت احیاء و تشکیل لایه می‌باشد و اگر غلظت آن از حد مجاز بیشتر باشد فرآیند لایه‌نشانی انجام نمی‌شود.
[۲۸-۲۹]

در تحقیق حاضر با رویکردی نوین از چاپ‌گر جوهرافشان جهت فعال سازی سطح پارچه پلی استر به عنوان یک زیر لایه انعطاف پذیر استفاده شده است. در این روش، محلول آبی نمک فلزی (فلز پالادیوم) به عنوان جوهر چاپ بر روی سطح پارچه جوهرافشانی شده که پس از ورود به حمام لایه نشانی نانو ذرات فلز نیکل منجر به استحصال شیمیایی نانو ذرات فلزی هادی جریان الکتریسیته بر روی زمینه پارچه مورد نظر می‌شود. طرح‌های چاپ شده با دارا بودن هدایت الکتریکی بالا در زمینه‌های متنوع منسوجات هوشمند همچون حسگر دریافت سیگنال‌های قلب، آنتن‌های نساجی با قابلیت انتقال اطلاعات در کاربرد‌های نظامی، مدارات الکترونیکی با انعطاف پذیری بالا قابل استفاده هستند.

مواد و روش تحقیق

مواد

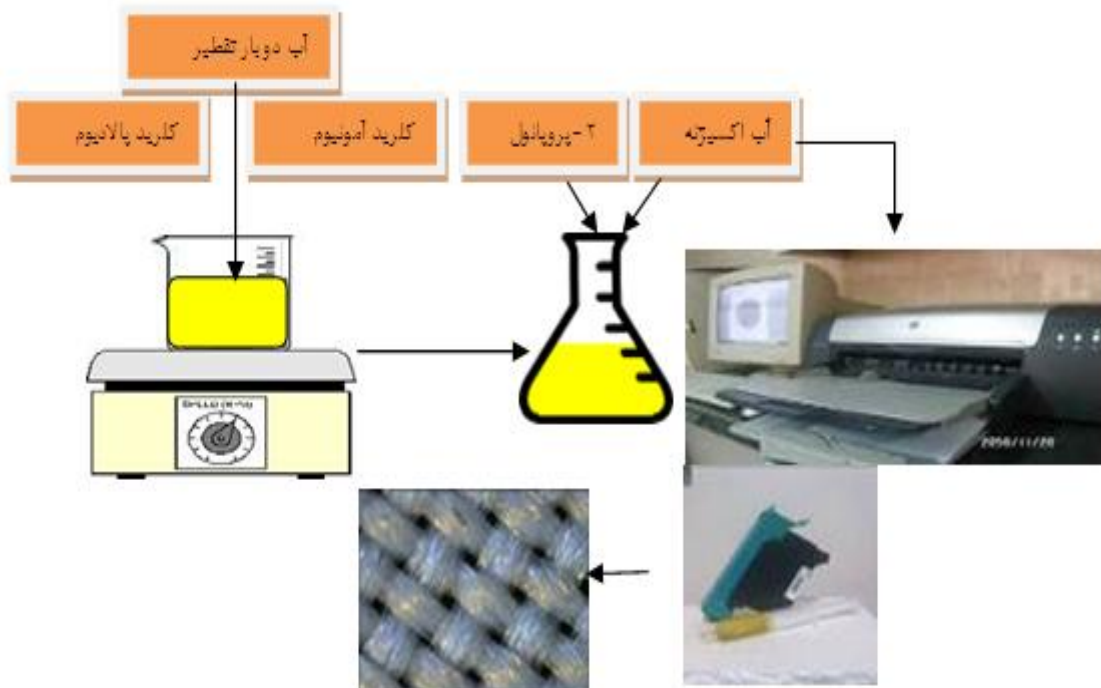
پارچه پلی استر با تراکم (۳۰×۳۲) - نمره نخ تار و پود ۸۸/۸ دنیر) با بافت تافته بعنوان زمینه انتخاب شد.



شکل ۱. مراحل آماده سازی پارچه تا قبل از چاپ جوهر افشان برای ایجاد سطح پارچه.

جوهر پالادیوم آماده شده داخل کارتريج مشکی که کاملاً با محلول اتانول و آب شسته شده ریخته می‌شود. پس از چاپ نمونه‌ها در دمای ۶۰ درجه سانتی گراد در آون تشییت شده و سپس برای تبدیل یون‌های پالادیوم به فلز پالادیوم نمونه‌ها در محلول ۰/۱ مول بوروهیدرات سدیم به مدت ۵ دقیقه قرار می‌گیرند. آب‌کشی موثر بعد از این مرحله انجام می‌شود.

آماده سازی جوهر پالادیوم و فعال سازی سطح منسوج ۰/۰۴ گرم کلرید پالادیوم و کلرید آمونیوم در ۲۳/۷ گرم آب دو بار تقطیر به مدت ۱ ساعت توسط همزن با دور ۳۰۰ دور در دقیقه مخلوط شد. از محلول زرد حاصل ۰/۱۵ میلی‌لیتر برداشته شده و به این محلول ۳ قطره آب اکسیژنه اضافه شد و در نهایت به محلول فوق ۰/۲۵ گرم از ۲-پروپانول اضافه شد تا از رسوب جوهر پالادیوم جلوگیری شود. جوهر تهیه شده در دمای محیط به مدت ۲-۳ هفته پایدار است ولی در دمای ۴ درجه سانتی گراد به مدت ۴ ماه پایدار می‌باشد.



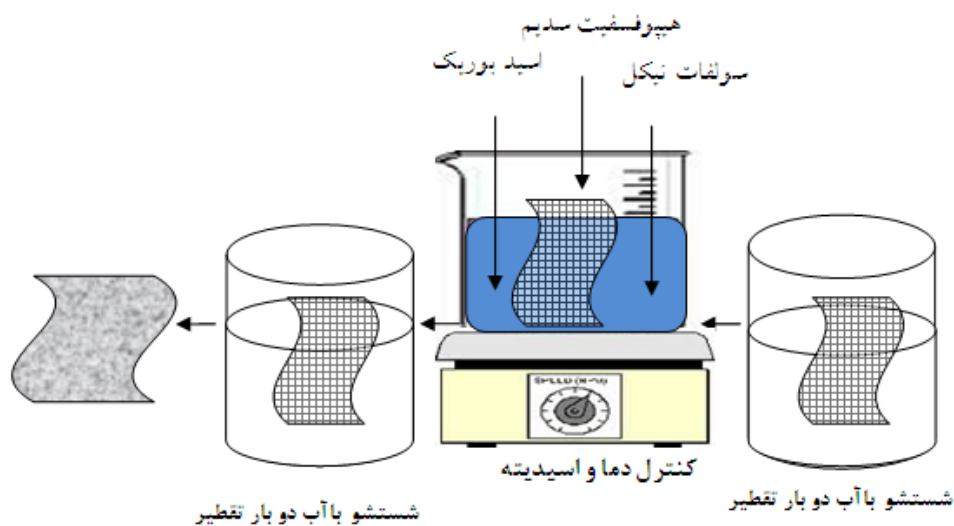
شکل ۲. آماده سازی جوهر پالادیوم جهت چاپ جوهر افشان عامل فعال کننده پالادیوم.

حمام الکتروولس

سپس دمای حمام و اسیدیته مورد نظر در حمام تامین شده و در طول فرایند در آن شرایط حفظ می‌شود. تعداد ۹ نمونه مطابق جدول ۱ برای بررسی اثر دما و اسیدیته حمام الکتروولس بر روی کیفیت لایه‌نشانی آماده گردید.

پس از چاپ جوهر افشان توسط جوهر پالادیوم، نمونه‌ها وارد حمام الکتروولس حاوی ۱/۵ گرم سولفات نیکل، ۳ گرم سیترات سدیم، ۴/۵ گرم اسید بوریک و ۴/۵ گرم هیپو فسفیت سدیم می‌شوند.

شکل ۳ شماتیک فرایند الکتروولس و لایه نشانی طرح هادی بر روی سطح پارچه را نشان می‌دهد



شکل ۳. تصویر شماتیک فرایند الکتروولس.

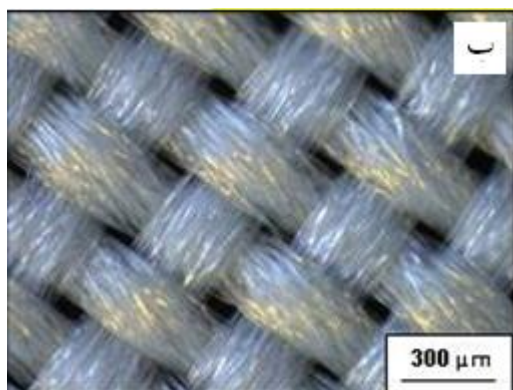
جدول ۱. دما و اسیدیته حمام الکتروولس در نمونه های مختلف

نمونه	۱	۲	۳	۴	۵	۶	۷	۸	۹
دما (°C)	۵۰	۶۰	۷۰	۸۰	۷۰	۷۰	۷۰	۷۰	۷۰
اسیدیته	۹	۹	۹	۹	۸	۷	۶	۵	۱۰

نهایت مقدار متوسط مقاومت الکتریکی سطحی نمونه با استفاده از رابطه $R_S = \frac{V \times W}{I \times L}$ محاسبه شد. در این رابطه V ولتاژ، W عرض نمونه، I متوسط شدت جریان عبوری و L طول فاصله الکتروودها می باشند. برای اندازه گیری ثبات سایشی تر و خشک از دستگاه $M238B$, SDL Ltd) استفاده شده است که به وسیله مقیاس خاکستری براساس استاندارد ISO 105- A02:1993 مورد ارزیابی قرار گرفت. مقیاس خاکستری معیار متعارفی است که برای مقایسه رنگ نمونها پس از عملیات سایشی از آن استفاده می شود. به منظور بررسی میکروسکوپی سطح نمونهها پس از لایه نشانی توسط نانوذرات فلزی، از نمونهها توسط میکروسکوپ الکترونی روبشی تصویر برداری شد. از پارچه های لایه نشانی شده با نانوذرات نیکل توسط دستگاه میکروسکوپ الکترونی روبشی JXA-840 تصویر برداری و با آنالیز عنصری ترکیب پوشش روی سطح بررسی شد. یک سیستم

روشهای اندازه گیری خصوصیات

تمام نمونه ها قبل از انجام کلیه اندازه گیری ها طبق روش های استاندارد به مدت ۲۴ ساعت در فشار اتمسفر، رطوبت نسبی $2 \pm 1\%$ و دمای $21 \pm 0.65^\circ C$ قرار داده شدند. میزان مقاومت الکتریکی نمونه ها توسط مولتی متر، اندازه گیری شد. میزان یکنواختی لایه در نمونه هایی که پس از لایه نشانی، مقاومت الکتریکی آنها تغییر کرده با استفاده از هدایت سنج چهار کاناله خطی بررسی شد. این هدایت سنج در دانشکده فنی دانشگاه گیلان ساخته شده به طوری که بین الکتروودهای آن یک سانتی متر فاصله باشد. با استفاده از هدایت سنج چهار کاناله و طبق استاندارد F390:2003 میزان مقاومت الکتریکی سطحی نمونه های رسانا شده مورد ارزیابی قرار گرفت. در ارزیابی میزان مقاومت الکتریکی سطحی شدت جریان الکتریکی ثابت توسط منبع تغذیه به نمونه اعمال شد و تغییرات ولتاژ توسط مولتی متر اندازه گیری شد. در



ادامه شکل ۴.

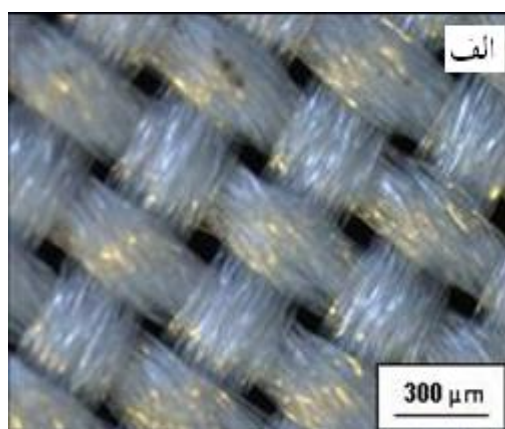
پارچه پس از شستشوی مقدماتی ، برای ایجاد مکانهای لازم به منظور لایه نشانی موثر بصورت غوطه وری در تماس با سود قرار میگیرد و سپس فرایند حساس سازی منسوج با کلرید قلع انجام میشود. شکل ۵ سطح منسوج را پس از عمل آوری با سود نشان میدهد . همان گونه که از تصاویر مشاهده میشود فرایند دندانه زنی و یا ایجاد فضاهای لازم برای به تله افتادن ذرات لایه نشانی شده بطرز بسیار ملایمی انجام شده است که در بزرگنمایی بیشتر بصورت سطوح موجودار و یا بصورت زبری بر روی سطح ظاهر میشود. شکل ۶ تصویر سطح را پس از عمل آوری با سود در بزرگنمایی بالاتر نشان میدهد. خلل و فرج ایجاد شده و افزایش قابل توجه زیری سطح این مطلب را تایید میکند. تغییرات در مشخصه های سطح پارچه عمل آوری شده با سود و همچنین حفره هایی با توزیع غیر یکنواخت بخوبی رویت میشود .

بررسی تحقیقات قبلی انجام شده در خصوص بکارگیری چاپ جوهر افشان در ایجاد طرح های هادی [۲۶-۲۷] بر روی منسوج نشان می دهد که در این مطالعات مرحله دندانه زنی بستر منسوج توسط سود و یا روش های دیگر انجام نشده است. نتایج گزارش شده در تحقیقات قبلی اگرچه اطلاعاتی در خصوص ثبات سایشی و پایداری طرح ها ارایه نداده است، اما با توجه به مشاهدات و نتایجی که در این مقاله ارایه شده است عدم اجرای فرایند دندانه زنی منجر به ثبات بسیار نامطلوب با درجه ۱ میگردد.[۲۸-۲۹]

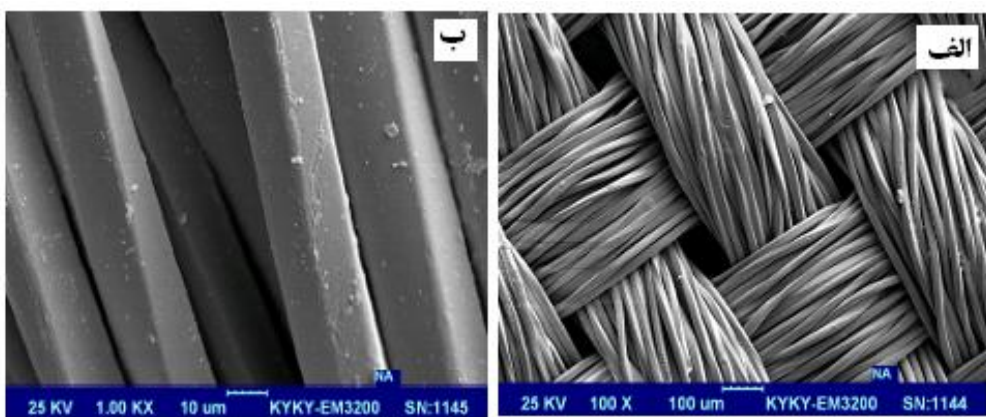
پیشرفتیه تصویر برداری نیروی اتمی مولتی مد برای اسکن تصویر میکروسکوپی توپولوژی سطح پارچه (مدل C No.0101/C) ساخت شرکت داخلی آرا پژوهش ایران مورد استفاده قرار گرفت. رزو لوشن عمودی و افقی بترتیب معادل ۰/۱ و ۰/۲ نانومتر است. تصاویر میکروسکوپ نیروی اتمی توسط کانتیلور سیلیکونی با نرخ پیمایش ۱ هرتز در محدوده ۵ میکرومتر تنظیم شده است. میزان ظرفیت خازنی نمونه ها توسط مولتی متر خازنی مدل C88 اندازه گیری شد. پروب های اندازه گیری در شرایط محیطی در پشت و روی پارچه قرار می گیرند.

نتایج و بحث

شکل ۴ تصویر میکروسکوپ نوری از روی سطح پارچه قبل و بعد از شستشو با محلول شوینده را نشان میدهد. شفافیت ظاهری سطح پس از شستشو بوضوح قابل رویت بوده که نشان دهنده زدوده شدن چربی ها و یا گرد و غبار احتمالی بر روی سطح پارچه است. این مرحله در فرایند فعال سازی بسیار موثر بوده و موانع عملیاتی تشکیل لایه یکنواخت و با ثبات فلزی را برروی پارچه فراهم مینماید. شستشوی مقدماتی پارچه در تحقیقات قبلی نیز مovid ضرورت این مرحله و تاثیر آن بر روی کیفیت محصول نهایی است[۲۶-۲۳].

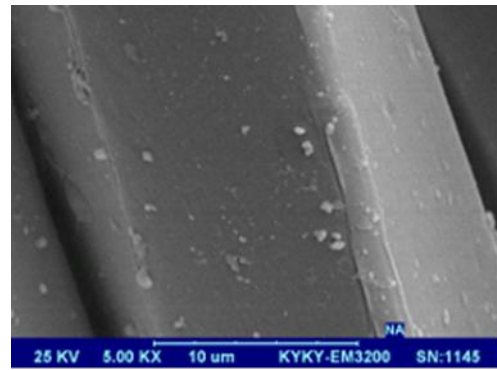


شکل ۴. تصویر میکروسکوپ نوری (الف) پارچه پلی استر سفید خام (ب) پارچه شستشو شده با دترجنت بزرگنمایی ۱۰۰.



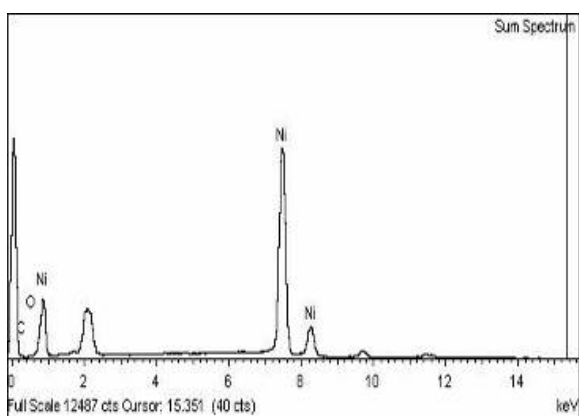
شکل ۵. تصویر میکروسکوپ الکترونی روبیشی پارچه عمل آوری شده با سود (الف) بزرگنمایی ۱۰۰ (ب) بزرگنمایی ۱۰۰۰.

در مرحله نهایی پارچه وارد حمام الکترولیس میشود. فرایند لایه‌نشانی به روش احیایی در شرایط مختلف می‌تواند بر روی کیفیت، میزان لایه‌ی تشکیل شده و رسانایی نمونه‌های لایه‌نشانی شده تاثیر بگذارد. به همین علت شرایط فرایند، جنس منسوج، غلظت و یا اندازه ذرات شرکت‌کننده در حین فرایند و اسیدیته واکنش می‌تواند بر روی عملیات لایه‌نشانی موثر باشد. کیفیت چاپ و مرزهای طرح هادی نیکل بر روی پارچه پلی استر بخوبی در تصویر میکروسکوپ نوری مشخص است(شکل ۷) و نشان دهنده دقیق قابل قبول و عدم پخش شدگی آن (۷-ب) در مقایسه با طرحهایی است که به دلایل متنوعی نظریه مناسب نبودن ویسکوزیته جوهر پالادیوم به فرم پخش شده ظاهر میشود (۷-الف). موضوع پخش شدگی طرحها ی هادی از لحاظ عملیاتی دارای اهمیت بسزایی بوده و عدم تشکیل مرزهای مشخص منجر به بروز نوسانات شدید در پاسخ سیگنانهای بدست آمده از حسگرهای و یا ابزارهای الکترونیکی دیگر میگردد. در تحقیقات قبلی از روشهای نیز هیدروفوب نمودن سطح منسوج و یا بستر برای جلوگیری از پخش شدگی استفاده شده است که به عنوان یکی از راههای موثر در این خصوص قابل استفاده است [۲۶]. اما در تحقیق حاضر بدون استفاده از تکنیک فوق حد قابل قبولی از مرزهای یکنواخت و منظم بدست آمده است.



شکل ۶. تصویر میکروسکوپ الکترونی روبیشی پارچه عمل آوری شده با سودبا بزرگنمایی ۵۰۰.

مرحله حساس سازی با کلرید قلع از نظر ظاهری تاثیری بر روی سطح پس از عمل آوری با سود ایجاد ننموده و نقش آن آماده سازی سطح برای فعال سازی توسط کلرید پالادیوم میباشد. تحقیقات نشان داده است که غلظت حساس کننده کلرید قلع در میزان غلظت موثر لازم برای ماده فعال کننده پالادیوم بسیار موثر خواهد بود [۲۸]. فاز دوم با آماده سازی جوهر پریتر و بارگذاری آن در کارتريج و چاپ عامل فعال کننده در طرح دلخواه و سپس آبکشی دنبال میشود. تقاقوت آشکار شیوه فاز سوم عملیات چاپ طرح هادی شامل آماده سازی حمام الکترولیس بوده که بسته به نوع حمام دارای نسخه های متفاوتی خواهد بود. درنهایت آبکشی نهایی و خشک کردن نمونه باعث ظهور طرحی هادی با هدایت فوق العاده بالا خواهد شد.

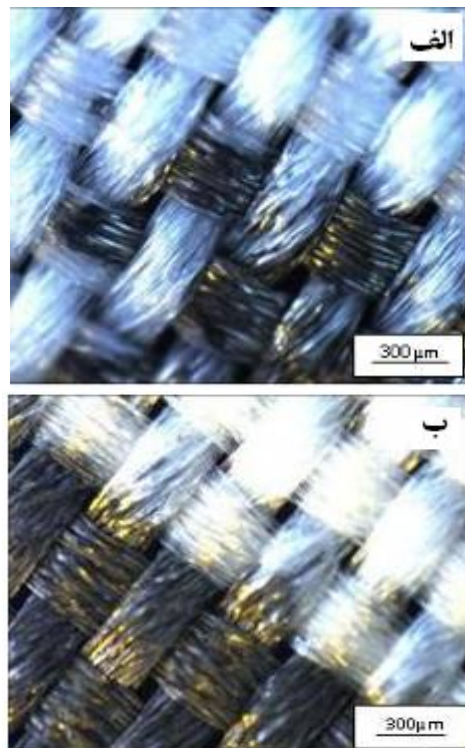


شکل ۸ نمودار آنالیز EDX روی سطح پارچه لایه‌نشانی شده با نانوذرات نیکل.

جدول ۲ . نتایج آنالیز عنصری لایه فلزی پوشش داده شده بر روی منسوج

عنصر	فسفر	کربن	اکسیژن	نیکل
درصد وزنی (%)	۷/۱۲	۱/۷۳	۲/۰۹	۸۵/۵۷
درصد (٪) اتم	۵/۳۴	۳۹/۲۸	۴/۹۹	۵۵/۷۳

به منظور بررسی بازدهی لایه‌نشانی و میزان لایه تشکیل شده بر روی سطح، مقاومت الکتریکی نمونه‌ها توسط دستگاه هدایت سنج چهار کاناله خطی اندازه‌گیری گردید که نتایج آن در جدول شماره ۳ آورده شده است. نتایج جداول ۳ نشان می‌دهد که در اسیدیته برابر ۶ و دمای ۷۰°C موثرترین لایه‌نشانی روی سطح پارچه با توجه به بالاتر بودن میزان هدایت الکتریکی، انجام شده است. ثبات سایشی این نمونه در حد قابل قبول ۴-۳ بوده و همچنان هدایت الکتریکی خوبی بعد از سایش مشاهده شده است [۲۹]. نتایج ارایه شده در این جداول اثبات کرد که وقتی ثبات سایشی کم است ذرات فلزی بیشتر از سطح پارچه کنده شده و هدایت الکتریکی بطور طبیعی کاهش می‌یابد.



شکل ۷۰ تصویر میکروسکوپ نوری از مرزهای چاپ (الف) همراه با پخش شدگی (ب) بدون پخش شدگی

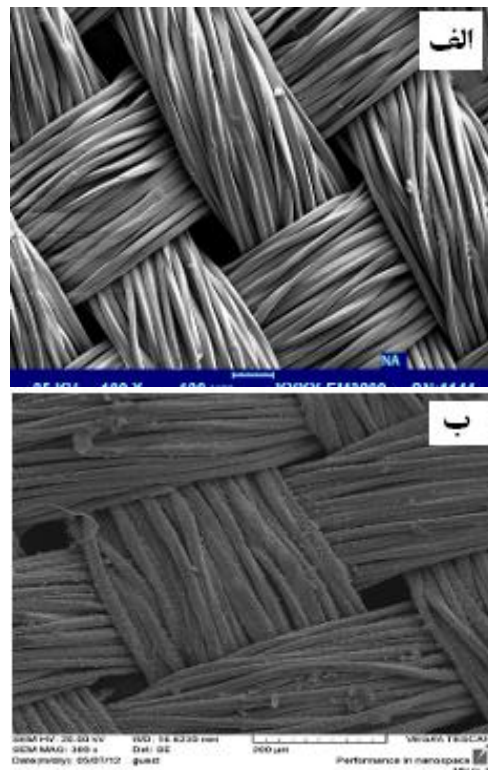
تست مقدماتی بر روی پارچه لایه نشانی شده توسط آنالیز عنصری، حضور ذرات نیکل را به وضوح نشان میدهد. همانطور که مشخص است عنصر نیکل در مقایسه با عناصر دیگر بالاترین درصد را به خود اختصاص داده است (شکل ۸). در جدول ۲ درصد ترکیب عناصر تشکیل دهنده لایه روی سطح پارچه پلی استر نشان داده شده است. مقادیر جدول نشان دهنده، تشکیل عمدۀ ذرات عنصر نیکل (۸۵/۵۵٪ وزنی) بر سطح پارچه پلی استر می‌باشد. لازم به توضیح می‌باشد که پیک اول از سمت چپ مربوط به طلای پوشش داده شده بر سطح نمونه برای گرفتن تصویر می‌باشد. با توجه به تاثیر قابل ملاحظه اسیدیته و دما بر میزان و کیفیت لایه‌نشانی انجام شده، فرآیند لایه‌نشانی پارچه با نیکل طبق جدول ۱ انجام گردید.

جدول ۳. مقاومت الکتریکی سطحی و ثبات سایشی پارچه‌های لایه‌نشانی شده با نانو ذرات نیکل.

نمونه	۱	۲	۳	۴	۵	۶	۷	۸	۹
(°C) دما	۵۰	۶۰	۷۰	۸۰	۷۰	۷۰	۷۰	۷۰	۷۰
اسیدیته	۹	۹	۹	۹	۸	۷	۶	۵	۱۰
هدایت الکتریکی (S/cm)	439 ± 68	306 ± 53	493 ± 31	227 ± 32	332 ± 47	1599 ± 27	2632 ± 35	1165 ± 19	146 ± 75
ثبات سایشی	۴-۵	۴	۴-۵	۴	۴	۴	۳-۴	۴-۵	۴-۵

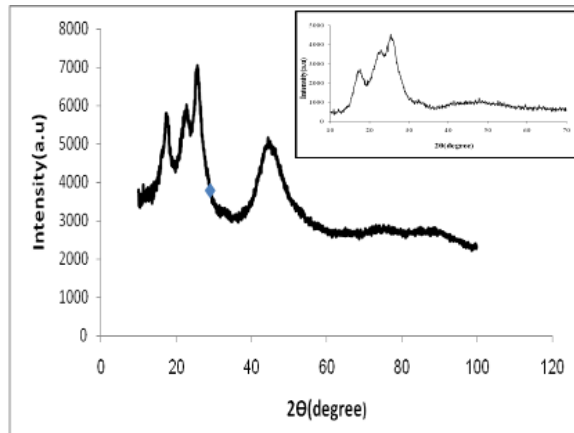
شکل ۱۰-الف و ب تصاویر میکروسکوپ الکترونی روبشی نمونه شماره ۷ که بالاترین میزان رسانایی را داراست، نمایش می‌دهد. در بزرگنمایی ۵۰۰ پوشش یکنواخت سطح الیاف با ذرات نیکل و در بزرگنمایی ۲۵۰۰ نانو بودن ذرات نیکل بطرور کامل قابل تشخیص می‌باشد. تصویر میکروسکوپی بخوبی نشان میدهد که ذراتی با اندازه حدود ۱۰۰-۵۰ نانو متر بصورت مجزا و یا بصورت بهم پیوسته با مرزهای کاملاً قابل رویت در کنار یکدیگر قرار گرفته‌اند. نواحی بهم پیوسته از چند ذره تا دهها ذره در کنار یکدیگر تشکیل شده است. این ساختار چند لایه برای تحقق هدایت الکتریکی بسیار بالا ضروری است و نتایج هدایت الکتریکی برای نمونه ۷ این موضوع را اثبات می‌کند. البته شکل گیری لایه‌ی با یکنواختی بیشتر در سطح و همچنین انباشتگی ذرات کوچک بصورت تپه‌ای کاملاً مطلوب نیست و تحقیقات متنوعی بر روی سیستمیک شکل گیری و دانه بندی ذرات در حال انجام است.

به منظور بررسی تغییرات به وجود آمده در سطح نمونه‌ها پس از لایه‌نشانی، از سطح نمونه‌های تهیه شده تصویر میکروسکوپ الکترونی روبشی گرفته شد، در شکل ۹-الف و ب تصاویر سطح نمونه را قبل و بعد از لایه‌نشانی نشان می‌دهد. همان‌طور که در تصویر مشاهده می‌شود، سطح الیاف پس از لایه‌نشانی، به‌طور کامل و یکنواخت با لایه‌ای از فلز پوشیده شده است به طوری که ساختار میکروسکوپی الیاف پلی استری بعد از لایه‌نشانی بطور کامل تغییر کرده است.



شکل ۹. تصویر میکروسکوپ الکترونی پارچه‌ی پلی استری:
(الف) متراتکم خام، (ب) متراتکم لایه‌نشانی شده با نانو ذرات نیکل

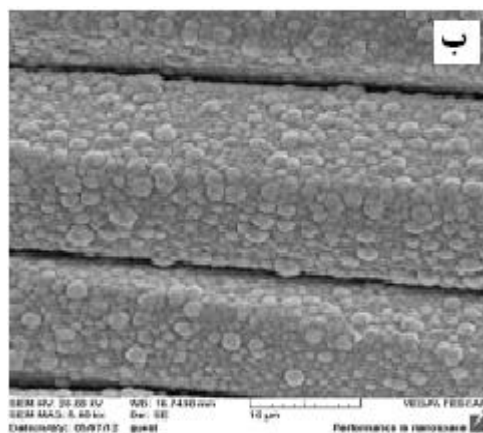
این دو اتم نیکل و فسفر، نرخ تفرق فسفر در مقایسه با نیکل بطور نسبی کوچک است.



شکل ۱۱. نمودار طیف تفرق اشعه ایکس پارچه لایه‌نشانی شده با نانو ذرات نیکل (نمونه ۷) نمودار کوچک در گوش سمت راست طیف تفرق اشعه ایکس پارچه پلی استر خام است

از این رو لایه‌نشانی نیکل با مقدار بالایی از فسفر همراه با حرکت تعداد زیادی از اتمهای فسفر در هر واحد از زمان لایه‌نشانی می‌باشد که به جداسازی نیکل و فسفر متنه می‌شود. این حرکت و جدایی مقدار زیادی فسفر، مانع هسته‌زایی فاز نیکل کریستالی مکعب وجوده مرکز دار و در نتیجه تشکیل ساختار آمورف در شرایط لایه‌نشانی می‌شود. بطور معمول پوشش‌های نیکل - فسفر در سه نوع با محتوی فسفر پایین (۳-۱٪)، متوسط (۴-۷٪) و بالا (۷٪) > طبقه بنده می‌شوند. محتوی فسفر در لایه نشانی انجام شده تابعی از غلظت هیپوفسفیت در حمام و دمای انجام واکنش می‌باشد [۳۱]. شکل ۱۲ مربوط به تصویر میکروسکوپ الکترونی پارچه لایه‌نشانی شده با نانو ذرات نیکل با شماره ۶ می‌باشد.

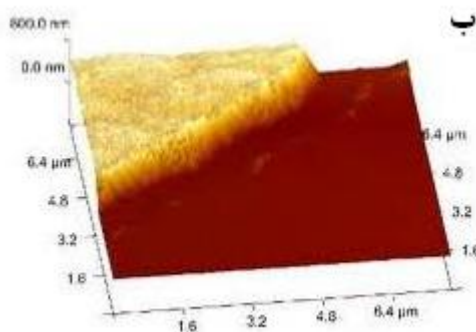
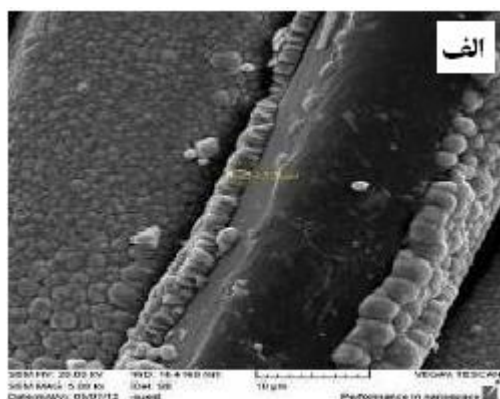
با مقایسه تصاویر متوجه می‌شویم که ذرات روی سطح الیاف در نمونه شماره ۶ بصورت نایکنواخت و به میزان کمتری نسبت به نمونه شماره ۷ لایه‌نشانی شده است.



شکل ۱۰. تصویر میکروسکوپ الکترونی پارچه لایه‌نشانی شده با نانو ذرات نیکل در: (الف) بزرگنمایی ۲۵۰۰، (ب) در بزرگنمایی ۵۰۰.

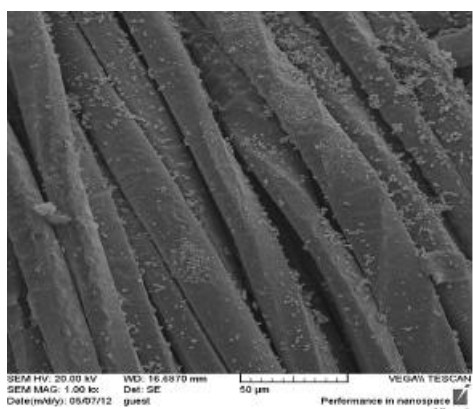
برای بررسی ساختار بلوری و آمورف از نمونه ۷ با بالاترین هدایت الکترونیکی طیف تفرق اشعه ایکس تهیه گردید. الگوی تفرق اشعه ایکس پارچه پلی استر خام در شکل ۱۱ (گوش سمت است) نشان داده شده است. پیک تفرق قوی در زوایای $2\theta = 17/5^\circ$ ، $22/8^\circ$ و $25/3^\circ$ پیک‌های مشخص پارچه پلی استر می‌باشد. طیف تفرق اشعه ایکس برای پارچه لایه‌نشانی شده با نیکل (شکل ۱۱) علاوه بر پیک‌های متعلق به مشخصه‌های پارچه پلی استری، یک پیک پهن در اطراف زاویه $2\theta = 45^\circ$ را نشان می‌دهد. این پیک متناسب با یک ساختار آمورف می‌باشد که این امر مناسب با تحقیقاتی است که بیان می‌دارد که وقتی محتوای فسفر لایه‌نشانی نیکل بیشتر از ۷٪ وزنی باشد، ساختار آمورف تشکیل می‌شود [۳۰]. پس در لایه‌نشانی انجام شده بر روی پارچه پلی استر با نانو ذرات نیکل با توجه به جدول ۲ که محتوای فسفر لایه‌نشانی را ۷/۱۲٪ وزنی نشان می‌دهد یک ساختار آمورف تشکیل شده است. از لحاظ تئوری یک بی نظمی در آرایش یافتگی اتمها در این پیک پهن مشهود است [۳۱]. مکانیسم تشکیل پوشش‌های نیکلی بیان می‌دارد که در طول لایه‌نشانی نیکل، فسفر بطور تصادفی توسط اتمهای نیکل درگیر شده و تغییرات در نرخ جداسازی اتمهای نیکل و فسفر، بلوری بودن لایه تشکیل شده را باعث می‌شود. بین

به منظور تشخیص چگونگی قرار گیری ذرات بر روی مونو فیلامنتها تصویر میکروسکوپی پس از لایه برداری جزیی از الیاف هادی در مقیاس طولی انجام شد. تصویر بخوبی ضخامت لایه تشکیل شده را بر روی سطح فیلامنت در نمونه شماره ۷ که نسبت به بقیه نمونه ها از هدایت الکتریکی و یکنواختی بهتری برخوردار است، نشان میدهد. تصویر میکروسکوپ الکترونی روبشی تهیه شده حاکی از تشکیل لایه با ضخامت در حدود ۲/۲۶ میکرومتر بر روی سطح پارچه می باشد.(شکل ۱۵).



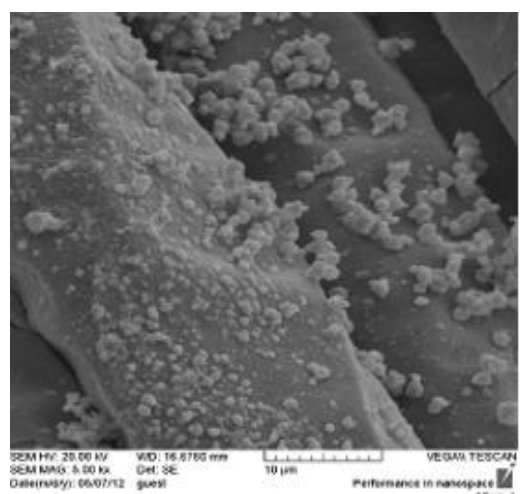
شکل ۱۴. (الف) تصویر میکروسکوپ الکترونی روبشی سطح مقطع پارچه لایه نشانی با نانو ذرات نیکل (ب) تصویر میکروسکوپ نیروی اتمی از ضخامت لایه نشانیده شده.

در مقایسه تصویر میکروسکوپ نیروی اتمی از ضخامت لایه فلزی به فرمی شبیه به ساقه های گندم با ارتفاعی معادل ۲/۳۵ میکرومتر در شکل ۱۴- ب بخوبی مشاهده میشود. ساختار شبه سوزنی مرزهای کریستالهای فلزی از نکات مشهود این تصویر است. با افزایش تعداد دفعات چاپ تا ۱۰ بار، لایه نشانی بیشتری بر سطح پارچه

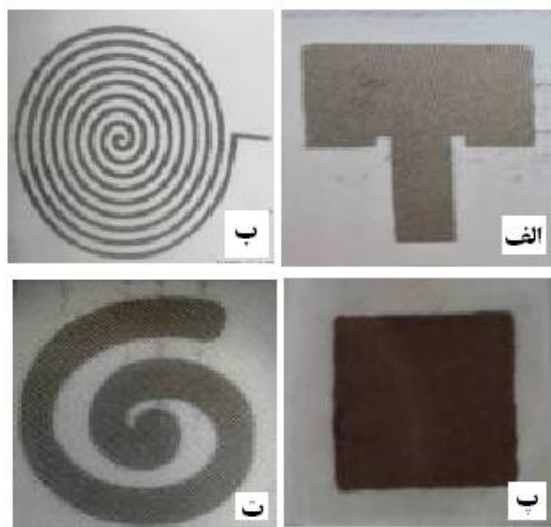


شکل ۱۲. تصویر میکروسکوپ الکترونی روبشی نمونه ۶ در اسیدیته ۷ و دمای ۷۰ درجه سانتی گراد.

برای مشاهده میکروسکوپی تاثیر دما در لایه نشانی انجام گرفته روی الیاف، از نمونه شماره ۴ تصویر میکروسکوپ الکترونی روبشی گرفته شد. (شکل ۱۳) این نمونه تحت دمای ۸۰ درجه سانتی گراد و اسیدیته ۹ قرار گرفته بود. با توجه به شکل ۱۳ امی توان دریافت که در دمای ۸۰ درجه سانتی گراد ذرات روی سطح الیاف بصورت متراکم بوده ولی همچنان نایکنواخت روبشی توزیع شده است. تراکم این نانو ذرات موجب هدایت الکتریکی قابل قبول در نمونه شده ولی بدلیل عدم توزیع یکنواخت، ثبات ساییشی پایینی را داراست و براحتی در بعضی از نقاط از سطح پارچه کنده می شود.



شکل ۱۳. تصویر میکروسکوپ الکترونی روبشی نمونه ۴ در اسیدیته ۹ و دمای ۸۰ درجه سانتی گراد.



شکل ۱۵ . نمونه پارچه چاپی لایه نشانی شده با نانو ذرات نیکل با طرحهای متنوع توسط طرح آزمایش استفاده شده در نمونه ۶ (الف) آنتن پج(ب) آنتن مارپیچ(پ) سنسور الکترود سیگنال قلب (ت) آنتن مارپیچ(ت).

همه طرحهای نمونه موید کارایی روش برای چاپ میکرو افزارهای الکترونیک بر سطح انعطاف پذیر پارچه است که قابلیتهای متنوعی برای ساخت البسه هوشمند و تکنیکی ایجاد میکند. ظرفیت خازنی برای طرحهای متنوع بین ۲۰-۱۰ نانو فاراد اندازه گیری شد که این مقدار با ظرفیت خازنی طرحهای هادی چاپ شده توسط نقره در تحقیقات قبل [۲۶] قابل مقایسه بوده و در عین حال انعطاف پذیری بسیار بالای طرحهای آماده شده و تنوع آن میتواند نقطه عطفی در فرایند مذکور باشد. شکل ۱۶ شیوه اندازه گیری و حدود مقادیر بدست آمده را نشان میدهد.



شکل ۱۶ . ظرفیت خازنی اندازه گیری شده در طرحهای آنتنی مختلف.

صورت گرفته که منجر به افزایش میزان رسانایی نمونه ها شده ولی افزایش بیشتر تعداد دفعات چاپ منجر به کاهش ثبات نمونه ها خواهد شد. در بررسی استحکام نمونه ها مشاهده شد، لایه نشانی با نانوذرات نیکل استحکام و مقاومت کششی پارچه خام را نقویت می کندکه این امر قابلیت کاربرد منسوج را برای استفاده در کاربردهای الکترونیکی فراهم می کند. نتایج حاصل از انجام تست استحکام کششی حاکی از افزایش میزان استحکام با افزایش تعداد دفعات چاپ داشته، به طوری که با انجام ۸ مرتبه چاپ استحکام به اندازه ۳۰٪ نسبت به پارچه خام افزایش می یابد. این امر بخوبی بیانگر توزیع بسیار مناسب ذرات بر روی سطح پارچه و تشکیل لایه یکنواخت و متراکم در مقیاس نانو بر روی سطح الیاف می باشد. با اندازه گیری زاویه هی بازگشت از چروک پس از لایه نشانی مشاهده گردید، زاویه هی بازگشت از چروک پس از لایه نشانی (حدود ۴۵٪) کاهش یافته است. وجود ذرات فلزی بین الیاف پس از لایه نشانی، اصطکاک بین نخ ها و الیاف را افزایش می دهد. وقتی پارچه لایه نشانی شده تحت نیرویی قرار گرفته و چروکیدگی در آن ایجاد می شود و بعد نیرو حذف می گردد، بدلیل افزایش اصطکاک لایه لایی الیاف دیگر، آنها نمی توانند چندان به موضع قبلی خود برگردند. پس چروک پذیری پارچه بعد از لایه نشانی با نانو ذرات فلزی نیکل افزایش می یابد.

شکل ۱۵ تصویر دو نمونه چاپ شده بر روی پارچه ی پلی استری با استفاده از تکنیک جوهر افشان و الکتروولس نیکل در بهترین دما و اسیدیته بدست آمده می باشد. شکل ۱۵-الف تصویر یک آنتن چاپ شده مایکرو استریپ برای ارتباطات در محدوده کم خارج از بدن، که بعنوان شبکه بی سیم محلی (WLAN) شناخته شده و در فرکانس GHZ ۲/۴ کار می کند و از انعطاف پذیری بالایی برخوردار می باشد. شکل ۱۵-ب و ت تصویر یک خازن مارپیچ می باشد . هچنین نمایی از یک حسگر قلب نیز در شکل ۱۵ - پ ملاحظه میگردد.

نتیجه‌گیری

منابع

1. A.S. Joshi, K. Sharma, D. Wagh and D. Pareek, *Development of E-health monitoring garment*, Man-Made Textiles in India,39(2011)279-285.
2. S.I. Ahn, W.K. Kim, S.H. Ryu, K.J. Kim, S.E. Lee, S.H. Kim, J.C. Park and K.C. Choi, *OLED with a controlled molecular weight of the PVK (poly(9-vinylcarbazole)) formed by a reactive ink-jet process*, Organic Electronics: physics, materials, applications,13(2012)980-984.
3. L. Basiricò, P. Cosseddu, B. Fraboni and A. Bonfiglio, *Inkjet printing of transparent, flexible, organic transistors*, Thin Solid Films,520(2011)1291-1294.
4. T. Blaudeck, P.A. Ersman, M. Sandberg, S. Heinz, A. Laiho, J. Liu, I. Engquist, M. Berggren and R.R. Baumann, *Simplified large-area manufacturing of organic electrochemical transistors combining printing and a self-aligning laser ablation step*, Advanced Functional Materials, 22(2012)2923-2948..
5. W.Y. Chou, S.T. Lin, H.L. Cheng, M.H. Chang, H.R. Guo, T.C. Wen, Y.S. Mai, J.B. Horng, C.W. Kuo, F.C. Tang, C.C. Liao and C.L. Chiu, *Polymer light-emitting diodes with thermal inkjetprinted poly(3,4ethylenedioxythiophene):polystyrenesulfonate as transparent anode*, Thin Solid Films,515(2007)3718-3723.
6. I. Bernacka-Wojcik, R. Senadeera, P.J. Wojcik, L.B. Silva, G. Doria, P. Baptista, H. Aguas, E. Fortunato and R. Martins, *Inkjet printed and "doctor blade" TiO₂ photodetectors for DNA biosensors*, Biosensors and Bioelectronics, 25(2010)1229-1234.
7. R.A. Barry III, R.F. Shepherd, J.N. Hanson, R.G. Nuzzo, P. Wiltzius and J.A. Lewis, *Direct-write assembly of 3D hydrogel scaffolds for guided cell growth*, Advanced Materials,21(2009)2407-2410.
8. W.Y. Yeong, C.K. Chua, K.F. Leong, M. Chandrasekaran and M.W. Lee, *Indirect fabrication of collagen scaffold based on inkjet printing technique*, Rapid Prototyping Journal,12(2006)229-237..

با توجه به نتایج بدست آمده از آزمایشات می توان نتیجه گرفت که چاپ جوهر افشارن به دلیل سازگاری با زیرلايهای مختلف و دمای پایین عملیات چاپ نسبت به روش های دیگر برتری دارد. از طرفی، همانطور که گفته شد از جمله پارامتر های مهم در حمام الکتروولس دما و اسیدیته می باشد. در این مقاله سعی بر آن شد تا بهترین دما و اسیدیته برای حمام الکتروولس با توجه به روش چاپ جوهرافشان انتخاب گردد. نتایج بدست آمده از تصاویر میکروسکوپ الکترونی رویشی و هدایت الکتریکی بدست آمده از نمونه ها در این مقاله ، نشان داد که بهترین اسیدیته برای حمام الکتروولس نمونه های چاپ شده اسیدی و برابر با ۶ و بهترین دمای برابر با ۷۰ درجه سانتی گرادمی باشد. نتایج بدست آمده از آنالیز عنصری معرف تشکیل ساختار آمورف فسفر- نیکل بوده که نتایج تفرق اشعه ایکس و ظهور پیک پهن در حدود زاویه ۴۵ درجه تاییدی بر این نتیجه است. همچنین افزایش زیاد دما و اسیدیته باعث تخریب حمام و سیاه شدن آن و کاهش شدید هدایت الکتریکی میگردد. از طرفی، برای چاپ مدارات و برد های الکتریکی استفاده از جوهر پالادیوم و لایه نشانی فلز نیکل به منظور دستیابی به رسانایی مورد انتظار، مناسب می باشد و با ایجاد هدایت الکتریکی بالا $2632 \pm 35 \text{ s/m}$ و استحکام مطلوب کاربردهای گسترده ای در حوزه الکترونیک خصوصاً کاربرد در مدارات الکترونیکی چاپی و آتنن های چاپی بر زیر لایه پارچه ای دور از انتظار نیست. برای کاربردهای دیگر نیز ظرفیت خازنی حدود ۲۰-۱۰ نانو فاراد ثبت گردیده است که در ذخیره سازی انرژی بسیار با اهمیت است.

9. D. Xu, V. Sanchez-Romaguera, S. Barbosa, W. Travis, J. De Wit, P. Swan and S.G. Yeates, *Inkjet printing of polymer solutions and the role of chain entanglement*, Journal of Materials Chemistry, 17(2007)4902-4907.
10. J.T. Wu, S.L.C. Hsu, M.H. Tsai and W.S. Hwang, *Inkjet printing of lowerature cured silver patterns by using AgNO₃/3-dimethylamino-2-propanol inks on polymer substrates*, Journal of Physical Chemistry C, 115(2011)10940-10945.
11. B. Weng, X. Liu, R. Shepherd and G.G. Wallace, *Inkjet printed polypyrrole/collagen scaffold: A combination of spatial control and electrical stimulation of PC12 cells*, Synthetic Metals, 162(2012)1375-1380.
12. S. Gamerith, A. Klug, H. Scheiber, U. Scherf, E. Moderegger and E.J.W. List, *Direct ink-jet printing of Ag-Cu nanoparticle and Ag-precursor based electrodes for OFET applications*, Advanced Functional Materials, 17(2007)3111-31118.
13. S. Hauschild, U. Lipprandt, A. Rumplecker, U. Borchert, A. Rank, R. Schubert and S. Förster, *Direct preparation and loading of lipid and polymer vesicles using inkjets*, Small, 1(2005)1177-1180.
14. P.D. Angelo, G.B. Cole, R.N. Sodhi and R.R. Farnood, *Conductivity of inkjet-printed PEDOT:PSS-SWCNTs on uncoated papers*, Nordic Pulp and Paper Research Journal, 27(2012)486-495.
15. P.D. Angelo and R.R. Farnood, *Poly(3,4-ethylenedioxythiophene):Poly(styrene sulfonate) inkjet inks doped with carbon nanotubes and a polar solvent: The effect of formulation and adhesion on conductivity*, Journal of Adhesion Science and Technology, 24(2010)643-659.
16. W.R. Small, F. Masdarolomoor, G.G. Wallace and M. In Het Panhuis, *Inkjet deposition and characterization of transparent conducting electroactive polyaniline composite films with a high carbon nanotube loading fraction*, Journal of Materials Chemistry, 17(2007)4359-4361.
17. K.H. Shin, J. Cho, J. Jang, H.S. Jang, E.S. Park, K. Song and S.H. Kim, *Polypyrrole top-contact electrodes patterned by inkjet printing assisted vapor deposition polymerization in flexible organic thin-film transistors*, Organic Electronics: physics, materials, applications, 13(2012)715-720.
18. M. Černá, M. Veselý and P. Dzik, *Physical and chemical properties of titanium dioxide printed layers*, Catalysis Today, 161(2011)97-104.
19. C.J. Chang, S.T. Hung, C.K. Lin, C.Y. Chen and E.H. Kuo, *Selective growth of ZnO nanorods for gas sensors using ink-jet printing and hydrothermal processes*, Thin Solid Films, 519(2010)1693-1698.
20. W. Cui, W. Lu, Y. Zhang, G. Lin, T. Wei and L. Jiang, *Gold nanoparticle ink suitable for electric-conductive pattern fabrication using in ink-jet printing technology*, Colloids and Surfaces A: Physicochemical and Engineering Aspects, 358(2010)35-41
21. B. Hu, D. Li, O. Ala, P. Manandhar, Q. Fan, D. Kasilingam and P.D. Calvert, *Textile-based flexible electroluminescent devices*, Advanced Functional Materials, 21(2011)305-311
22. J.S. Kang, H.S. Kim, J. Ryu, H. Thomas Hahn, S. Jang and J.W. Joung, *Inkjet printed electronics using copper nanoparticle ink*, Journal of Materials Science: Materials in Electronics, 21(2010)1213-1220.
23. D. Li, D. Sutton, A. Burgess, D. Graham and P.D. Calvert, *Conductive copper and nickel lines via reactive inkjet printing*, Journal of Materials Chemistry, 19(2009)3719-3724..
24. N.S. Kim and K.N. Han, *Future direction of direct writing*, Journal of Applied Physics, 108 (2010). 102801-102807
25. S. Magdassi, A. Bassa, Y. Vinetsky and A. Kamysny, *Silver nanoparticles as pigments for water-based ink-jet inks*, Chemistry of Materials, 15(2003)2208-2217.
26. S.M. Bidoki, D.M. Lewis, M. Clark, A. Vakorov, P.A. Millner and D. McGorman, *Ink-jet fabrication of electronic components*, Journal of Micromechanics and Microengineering, 17(2007)967-974.
27. S.M. Bidoki, D. McGorman, D.M. Lewis, M. Clark, G. Horler and R.E. Miles, *Inkjet printing of conductive*

- patterns on textile fabrics, AATCC Review, 5(2005)11-14.*
28. A. Afzali, V. Mottaghitalab, M.S. Motlagh and A.K. Haghi, *The electroless plating of Cu-Ni-P alloy onto cotton fabrics*, Korean Journal of Chemical Engineering, 27(2010)1145-1149.
29. M. Mohammadian, A. Afzali, V. Mottaghitalab and A.K. Haghi, *Washing and rubbing fastness of electroless plated polyester conductive fabric*, Materiale Plastice, 49(2012)182-185
30. J.N.Balaraju, T.S.N.Sankara Narayanan, S.K.Seshadri, “*Structure and phase transformation behavior of electroless Ni-P composite coatings.*” Mater.Res. Bull., 41847-860, 2006.
31. I. Baskaran, T.S.N Sankara Narayanan, A. Stephen, “*Effect of Accelerators and Stabilizers on the Formation and Characteristics of Electroless Ni-P Deposits.*”, Mater. Chem. Phys, Vol.99, pp.117–126, 2006